

II esercizio di FMI

pag. 1

Giugno 2017

Massa d'incisura $m_0 = m$

Carica elettrica in C = q

Campo elettrico = E_{ex} con E costante

costante nello spazio tra D e A = k_e

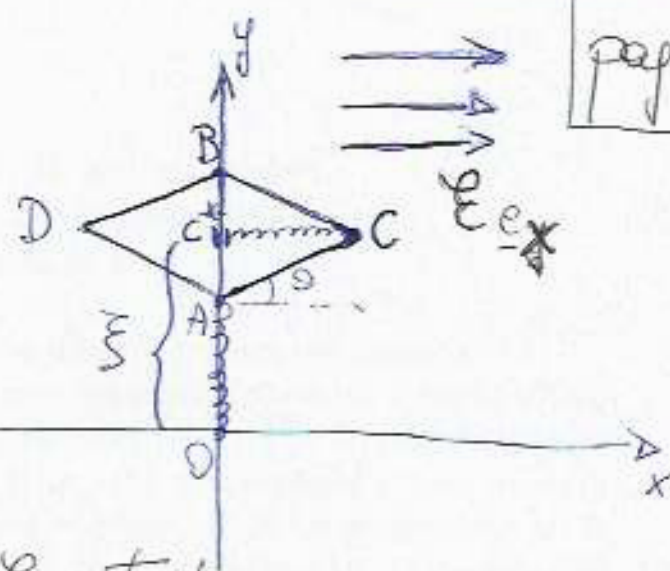
"

" "

C e $C^* = k_e$

$$q = 0$$

$$\overline{AB} = \overline{BC} = \overline{CD} = \overline{AD} = l$$



(1) Lagrangiana ed equazioni di Lagrange

Scegliamo come coordinate libere la angolazione θ

ξ, δ dove ξ è l'ordinata di C^* e δ è l'angolo tra AC e la semiretta parallela (e inversa) all'asse delle ascisse e uscente da A.

Scriuiamo le coordinate dei punti che sono interessanti per la soluzione dell'esercizio.

Coord. C^* : $(0, \xi)$; Coord. A: $(0, \xi - l \sin \theta)$

Coord. C: $(l \cos \theta, \xi)$; Coord. B: $(0, \xi + l \sin \theta)$

Coord. D: $(-l \cos \theta, \xi)$

Al fine di calcolare l'energia cinetica, è conveniente scrivere le coord. di un generico p.t. P che si trova sull'arco di vertici A e C a: $(l \cos \theta, \xi - (l - r) \sin \theta)$, $(r \cos \theta, \xi - (l - r) \sin \theta)$,

dove $\rho \in [0, l]$. Ne segue che

[pag. 2]

$$\underline{v}_P = (-\rho \dot{\theta} \sin \theta, \dot{\xi} - (\rho - l) \dot{\theta} \cos \theta)$$

$$\underline{v}_P \cdot \underline{v}_P = \rho^2 \dot{\theta}^2 \sin^2 \theta + \dot{\xi}^2 + (\rho - l)^2 \dot{\theta}^2 \cos^2 \theta - 2(\rho - l) \dot{\xi} \dot{\theta} \cos \theta \\ = \rho^2 \dot{\theta}^2 + \dot{\xi}^2 + l^2 \dot{\theta}^2 \cos^2 \theta - 2l\rho \dot{\theta}^2 \cos^2 \theta - 2(\rho - l) \dot{\xi} \dot{\theta} \cos \theta$$

L'energia cinetica dovuta all'asta di vertice A e C

è quindi

$$T_{AC} = \frac{m}{2l} \int_0^l d\rho \left[\rho^2 \dot{\theta}^2 + \dot{\xi}^2 + l^2 \dot{\theta}^2 \cos^2 \theta - 2l\rho \dot{\theta}^2 \cos^2 \theta - 2(\rho - l) \dot{\xi} \dot{\theta} \cos \theta \right] \\ = \frac{m}{2l} \left[\frac{l^3}{3} \dot{\theta}^2 + \dot{\xi}^2 l + l^3 \dot{\theta}^2 \cos^2 \theta - l^3 \dot{\theta}^2 \cos^2 \theta + l \cdot \cancel{\dot{\xi} \dot{\theta} \cos \theta} \right] \\ = \frac{m}{2} \dot{\xi}^2 + \frac{m}{6} l^2 \dot{\theta}^2 + \cancel{\frac{m}{2} l^2 \dot{\theta}^2 \cos^2 \theta} \\ - \cancel{\frac{m}{2} l^2 \dot{\theta}^2 \cos^2 \theta} + \frac{m}{2} l \dot{\xi} \dot{\theta} \cos \theta$$

Ripetiamo il ragionamento per un punto P che si trova sull'asta di vertici A e B e C, le cui coordinate saranno $(\rho \cos \theta, \xi + (\rho - l) \sin \theta)$ dove $\rho \in [0, l]$. Ne segue che

$$T_{BC} = \frac{m}{2l} \int_0^l d\rho \left[\rho^2 \dot{\theta}^2 + \dot{\xi}^2 + l^2 \dot{\theta}^2 \cos^2 \theta - 2l\rho \dot{\theta}^2 \cos^2 \theta + l^2 (\rho - l) \dot{\xi} \dot{\theta} \cos \theta \right] \\ = \frac{m}{2} \dot{\xi}^2 + \frac{m}{6} l^2 \dot{\theta}^2 - \frac{ml}{2} \dot{\xi} \dot{\theta} \cos \theta$$

$$\Rightarrow T_{AC} + T_{BC} = \frac{m\dot{\xi}^2}{3} + \frac{m\dot{\theta}^2}{3}$$

pag. 3

Ripetendo ancora il ragionamento per le altre 2 teste, abbiamo che

$$T = 2m\dot{\xi}^2 + \frac{2}{3}m\dot{\theta}^2$$

Ovviamente si arriverà allo stesso risultato applicando il teorema di König prima all'asta AC e poi a quella BC. Anzi, per queste altre strade si faranno un po' di calcoli in meno.

Possiamo ora al calcolo del potenziale.

Tuttavia, scriviamo:

$$U = -qE x_c + \frac{1}{2} k_2 \overline{CC}^* \overset{?}{=} -qE x_c + \frac{1}{2} k_2 x_c^2 + \frac{1}{2} k_1 \overline{\theta\theta}$$

per poi sostituire quell'espressione in funzione delle coordinate la cui forma è:

$$U = -qE l \cos \theta + \frac{1}{2} k_2 l^2 \cos^2 \theta + \frac{1}{2} k_1 (\xi - l \sin \theta)^2$$

Possiamo quindi scrivere la lagrangiana del sistema:

$$L = T - U = 2m\dot{\xi}^2 + \frac{2}{3}m\dot{\theta}^2 - \frac{1}{2}k_1(\xi - l \sin \theta)^2 + qE l \cos \theta - \frac{1}{2}k_2 l^2 \cos^2 \theta$$

le eq. di Lagrange allora saremo

[pag. 6]

$$\left\{ \begin{array}{l} \frac{d}{dt} \frac{\partial L}{\partial \dot{\xi}} - \frac{\partial L}{\partial \xi} = 4m\ddot{\xi} + k_1(\xi - l \sin \theta) = 0 \\ \frac{d}{dt} \frac{\partial L}{\partial \dot{\theta}} - \frac{\partial L}{\partial \theta} = \frac{4}{3}ml^2\ddot{\theta} + k_1(\xi - l \sin \theta)(-l \cos \theta) \\ \qquad \qquad \qquad + q \varepsilon l \sin \theta - k_2 l^2 \sin \theta \cos \theta = 0 \end{array} \right.$$

(2) Punti di equilibrio e stabilità

Dobbiamo risolvere il seguente sistema

$$\left\{ \begin{array}{l} \frac{\partial U}{\partial \xi} = k_1(\xi - l \sin \theta) = 0 \\ \frac{\partial U}{\partial \theta} = -k_1(\xi - l \sin \theta)l \cos \theta + q \varepsilon l \sin \theta - k_2 l^2 \sin \theta \cos \theta = 0 \end{array} \right.$$

Ponendo $\xi = l \sin \theta$ nella seconda equazione otteniamo

$$q \varepsilon l \sin \theta - k_2 l^2 \sin \theta \cos \theta = 0$$

$$\rightarrow k_2 l^2 \sin \theta \left(\frac{q \varepsilon}{k_2 l} - \cos \theta \right) = 0$$

$$\theta = 0, \pi$$

$$\theta = \pm \beta \text{ dove } \beta = \arccos \left(\frac{q \varepsilon}{k_2 l} \right)$$

Riassumendo, le soluzioni di quiete si hanno per

$$(\xi, \theta) \in \{(0,0), (0,\pi), (\pm l \sin \beta, \pm \beta)\}$$

dove la seconda coppia di soluzioni è se β è ben definita, cioè quando $\frac{q\varepsilon}{k_2 l} \leq 1$.

Per poter discutere la stabilità di questi punti di equilibrio, calcoliamo preliminarmente

$$\text{Hess } U = \begin{pmatrix} k_1 & -k_1 l \cos \theta \\ -k_1 l \cos \theta & +k_1(\xi - l \sin \theta) \sin \theta + k_1 l^2 \cos^2 \theta \\ & + q \varepsilon l \cos \theta - k_2 l^2 (2 \cos^2 \theta - 1) \end{pmatrix}$$

Consideriamo ora i casi particolari.

- Caso $(\xi, \theta) = (0, 0)$

$$\text{Hess } U \Big|_{\substack{\xi=0 \\ \theta=0}} = \begin{pmatrix} k_1 & -k_1 l \\ -k_1 l & k_1 l^2 + q \varepsilon l - k_2 l^2 \end{pmatrix}$$

$$\det \text{Hess } U \Big|_{\substack{\xi=0 \\ \theta=0}} = k_1^2 l^2 - k_1^2 l^2 + k_1 l (q \varepsilon - k_2 l)$$

• Sottocaso $\frac{q \varepsilon}{k_2 l} \leq 1 \Rightarrow \det < 0 \Rightarrow$ l'autovel. neg. $\Rightarrow (0,0)$ è INSTABILE

• Sottocaso $\frac{q\varepsilon}{k_2 l} > 1$

[Pgg. 6]

$$\Rightarrow \det > 0 \text{ e } \operatorname{Tr} \text{ Hess } U \Big|_{\begin{subarray}{l} \xi=0 \\ \theta=0 \end{subarray}} = k_1 + k_1 l^2 + l(q\varepsilon - k_2 l) > 0$$

\Rightarrow 2 autoval. positivi $\Rightarrow (0,0)$ è STABILE

• Sottocaso $\frac{q\varepsilon}{k_2 l} = 1$

$\Rightarrow \det = 0$ e $\operatorname{Tr} > 0 \Rightarrow$ 1 autoval. pos. e 1 neg.

$\Rightarrow (0,0)$ necessita un supplemento di calcolo.

- Caso $(\xi, \theta) = (0, \pi)$

$$\det \text{ Hess } U \Big|_{\begin{subarray}{l} \xi=0 \\ \theta=\pi \end{subarray}} = \det \begin{pmatrix} k_1 & k_1 l \\ k_1 l & k_1 l^2 - q\varepsilon l - k_2 l^2 \end{pmatrix} =$$

$$= \cancel{k_1 l} - \cancel{k_1 l^2} - k_1 l (q\varepsilon + k_2 l) < 0$$

\Rightarrow 1 autoval. pos. e 1 neg. $\Rightarrow (0, \pi)$ è INSTABILE.

- Caso $(\xi, \theta) = (\pm l \sin \beta, \pm \beta)$

$$\text{Hess } U \Big|_{\begin{subarray}{l} \xi=\pm l \sin \beta \\ \theta=\pm \beta \end{subarray}} = \begin{pmatrix} k_1 & -k_1 l \cos \beta \\ -k_1 l \cos \beta & k_1 l^2 \cos^2 \beta + q\varepsilon l \cos \beta - k_2 l^2 (2 \cos^2 \beta - 1) \end{pmatrix}$$

$$\Rightarrow \det \text{Hess } U = k_1^2 l^2 \cos^2 \beta - k_1^2 l^2 \cos^2 \beta + k_1 l \left(\frac{qE}{k_2 l} - 2k_2 \frac{q^2 E^2}{k_2^2 l^2} + k_2 l \right) = k_1 l^2 \left(1 - \frac{q^2 E^2}{k_2^2 l^2} \right) > 0$$

| pag. 7

~~caso~~ • Sottocaso $\frac{qE}{k_2 l} < 1$

Siccome $\det > 0$ e l'elemento in alto sulla diagonale è k_1 che è sicuramente > 0 , allora la matr. è def. positiva \Rightarrow 2 sotovel. pos. \Rightarrow p.t. di equilibrio STABILI

• Sottocaso $\frac{qE}{k_2 l} = 1$

Siccome $\det = 0$, e il primo elemento sulla diagonale è pos. \Rightarrow 1 sotovel. pos. e l'altro occorre un supplemento di esclamazione.

• Il sottocaso con $\frac{qE}{k_2 l} > 1$ non si possee

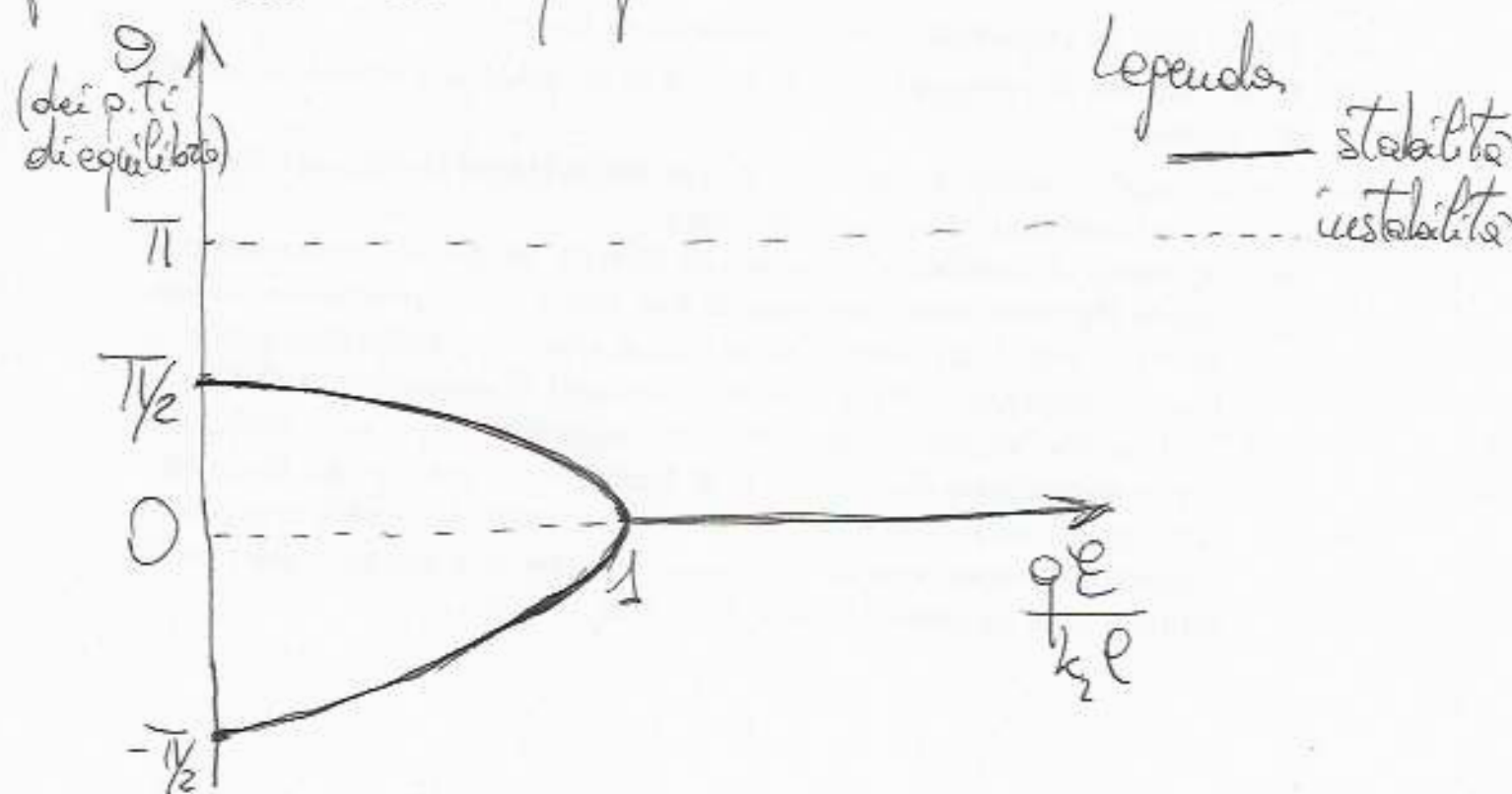
perché sotto questa ipotesi i p.t. di equil. ($\pm l \sin \beta, \pm \beta$) \notin .

Consideriamo ora, separatamente, | pag. 8
 i sottocasi in cui è necessario un supplemento
 di indagine; essi sono

$$(\xi, \vartheta) = (0, 0), (\pm \ell \sin \beta, \pm \beta) \quad \text{quando } \frac{qE}{k_2 l} = 1.$$

Ricordiamo che $\beta := \arccos \frac{qE}{k_2 l} = 0$, nel caso in esame,
 cioè quando $\frac{qE}{k_2 l} = 1$. Di conseguenza, noi abbiamo
 3 sottocasi distinti, ma il solo cioè $(\xi, \vartheta) = (0, 0)$ con
 la condizione $\frac{qE}{k_2 l} = 1$ sui parametri.

Facciamo il solito profilo riassettivo dei risultati
 finora ottenuti a proposito della stabilità.



Si riconosce, in $\vartheta = 0$ per $\frac{qE}{k_2 l} = 1$, la tipica situazione

della biforcazione a forchetta si | pag. 9
 un p.t. di equilibrio stabile. Questo
 ci porta naturalmente a concludere che $(0,0)$ sia
stabile se quando $\frac{qE}{k_2 l} = 1$ (cioè nel cosiddetto
 "caso critico").

Procediamo con la verifica rigorosa di questa con-
 tura.

Osserviamo che

$$\lim_{|\xi| \rightarrow +\infty} \frac{\text{min inf } U(\xi, \vartheta)}{\det} = \lim_{|\xi| \rightarrow +\infty} \frac{1}{2} k_1 (\xi - \xi_{\text{st}})^2 + \\ + \frac{1}{2} k_2^2 \cos^2 \vartheta - q E \cos \vartheta = \\ = +\infty$$

che consente che il potenziale deve avere un p.t. di
 minimo "al finito" che, come è ben noto, deve essere
 compreso tra i p.t. stazionari, quindi gli unici candidati
 a essere p.t. di minimo assoluto sono (per $\frac{qE}{k_2 l} = 1$)
 $(0,0)$ e $(0, \pi)$.

Il secondo di questi p.t. è di sella (perché fless U
 ha un instab. pos. e una neg.), quindi il p.t. di
 minimo assoluto non può che essere $(0,0)$, che sarà p.t.
 di equil. STABILE per l'th. di Lagrange-Dirichlet.

(3) Si ponga $k_1 = 0$ e si scriva la Hamiltoniana | pag. 10

risposta

(3A) Si determinino le costanti del moto.

(3B) Si scriva la hamiltoniana ridotta a un grado di libertà, in modo da descrivere l'andamento della fune del pendolo.

(3C) Si determinino tutte e sole le coordinate iniziali cui fanno seguito dei moti, tali (nell'ambito del formalismo hamiltoniano), tali che la superficie del rotolo tende a zero quando $t \rightarrow \infty$.

La lagrangiana, nel caso $k_1 = 0$, diventa

$$L = \frac{1}{2} m \dot{\xi}^2 + \frac{2}{3} m l^2 \dot{\theta}^2 + q \epsilon l \cos \theta - \frac{1}{2} k_2 l^2 \cos^2 \theta$$

\Rightarrow i momenti cinetici sono

$$P_\xi = \frac{\partial L}{\partial \dot{\xi}} = m \dot{\xi}, \quad P_\theta = \frac{2}{3} m l^2 \dot{\theta}$$

e la hamiltoniana è

$$H(P_\xi, P_\theta, \xi, \theta) = \frac{P_\xi^2}{2m} + \frac{3P_\theta^2}{8ml^2} - q \epsilon l \cos \theta + \frac{1}{2} k_2 l^2 \cos^2 \theta$$

S'osserva immediatamente che ξ è una variaabile ciclica, quindi

$P_\xi = h \omega \xi$ è una costante del moto

Inoltre, siccome $\frac{\partial H}{\partial t} = 0$, anche
l'energia totale

$$T = \frac{P_{\xi}^2}{8m} + \frac{3P_{\theta}^2}{8ml^2} - \cancel{qEl \cos \theta} - \cancel{\frac{1}{2}k_2 l^2 \cos^2 \theta}$$

pag. 11

è costante del moto.

Ci riduciamo a un solo grado di libertà scrivendo
la hamiltoniana

$$H(P_{\theta}, \theta) = \frac{3P_{\theta}^2}{8ml^2} - qEl \cos \theta + \frac{1}{2}k_2 l^2 \cos^2 \theta,$$

dove è stato omesso il grado di libertà che descrive
la posizione del ~~rumbo~~ centro C* del rumbo, per cui
Sappiamo che $\dot{\xi} = \frac{\partial H}{\partial P_{\xi}} = \frac{P_{\xi}}{4m} \Rightarrow \xi(t) = \frac{P_{\xi}}{4m}t + \xi(0)$

con P_{ξ} costante det. delle cond. iniz., cioè $P_{\xi} = 4m \dot{\xi}(0)$.

La hamiltoniana H permette di calcolare le eq. del
moto per θ (ϵP_{θ}), quindi descrive l'andamento della
forma del rumbo.

Facciamo una breve analisi qualitativa del moto,
utilizzando le leggi di conservazione

$$\frac{3P_{\theta}^2}{8ml^2} - qEl \cos \theta + \frac{1}{2}k_2 l^2 \cos^2 \theta = \boxed{\frac{3P_{\theta}^2}{8ml^2} + U(\theta) = E_{\theta}}$$

Dobbiamo quindi studiare il potenziale $U(\theta)$.

Calcoliamo

$$U'(\theta) = \frac{d}{d\theta} \left(-qEl \cos \theta + \frac{1}{2} k_2 l^2 \cos^2 \theta \right)$$

$$= qEl \sin \theta + k_2 l^2 \sin \theta \cos \theta$$

$$= k_2 l^2 \sin \theta \left(\frac{qE}{k_2 l} - \cos \theta \right).$$

Abbiamo quindi 2 possibili casi:

Se $\frac{qE}{k_2 l} > 1$, allora $U'(\theta) > 0$ per $\theta \in (0, \pi)$
 $U'(\theta) < 0$ per $\theta \in (-\pi, 0)$

Se $\frac{qE}{k_2 l} < 1$, allora $U'(\theta) > 0$ per $\theta \in (\beta, \pi)$ e $\theta \in (-\beta, 0)$

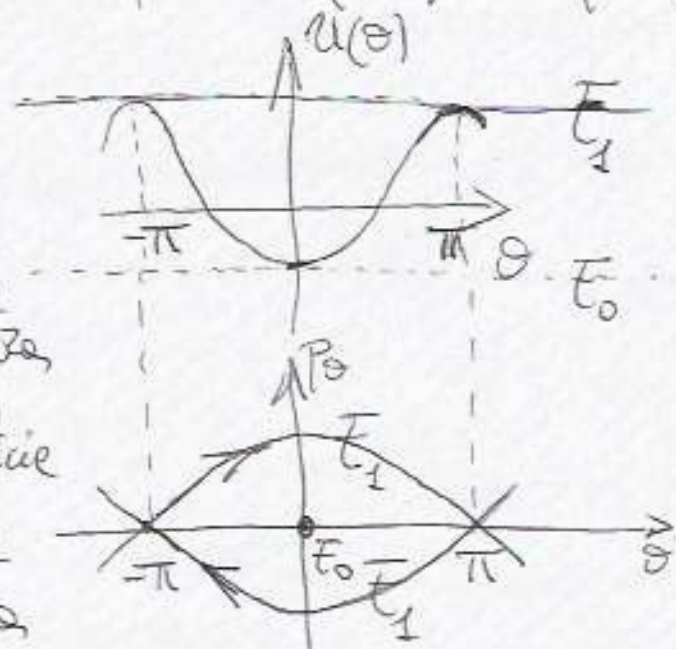
[dove si ricordi che $\beta := \arccos \left(\frac{qE}{k_2 l} \right)$] $U'(\theta) < 0$ per $\theta \in (0, \beta)$ e $\theta \in (-\pi, -\beta)$

Caso $\frac{qE}{k_2 l} \geq 1$, allora

il prefisso del potenziale sarà
come nella figura qui a destra
(in alto). Siccome la superficie
del rombo tende a zero, se
per $t \rightarrow \pm\infty$ $\theta(t) = 0, \pi$, allora

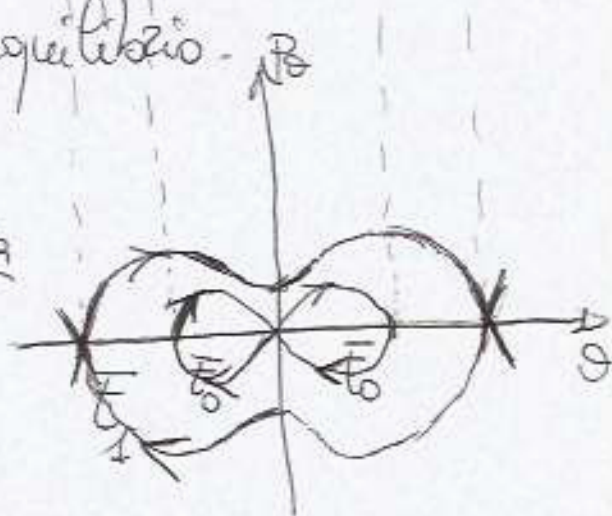
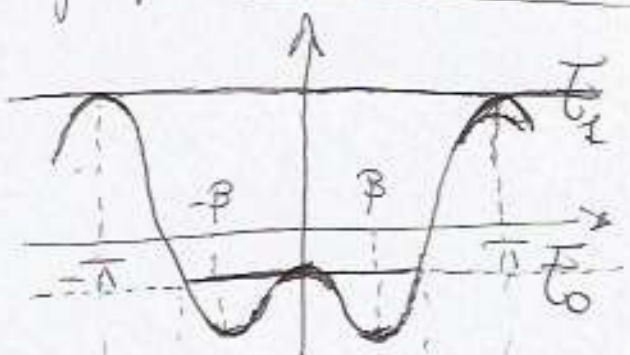
i livelli di energia che ci interessano sono quelli
contigui a E_0 e \bar{E}_1 , quindi la risposta è

$$(P_0(0), \theta(0)) \in \{(0, 0)\} \cup \{(P_0, \theta) : \frac{3P_0^2}{8ml^2} + U(\theta) = U(\pi) = qEl + \frac{1}{2} k_2 l^2\}$$



- Caso $\frac{qE}{k_2 l} < 1$, allora il grafico | pag. 13

del potenziale sarà come nella figura qui a destra. Sempre perché la superficie del rullo tende a zero sse $\lim_{t \rightarrow \pm\infty} \theta(t) = 0, \pi$ (ci sarebbero anche i casi $\pm \frac{\pi}{2}$, ma non sono tipi di equilibrio).
 Anche in questo caso, ho due livelli di energia che mi interessano e che sono contrapposti con E_0 e \bar{E}_1 . Le condizioni iniziali richieste sono pertanto



$$(P_0(0), \theta(0)) \in \left\{ (P_0, \theta) : \frac{3P_0^2}{8ml^2} + U(\theta) - U(0) = -qEl + \frac{1}{2}k_2 l^2 \right\}$$

$$\cup \left\{ (P_0, \theta) : \frac{3P_0^2}{8ml^2} + U(\theta) = qEl + \frac{1}{2}k_2 l^2 \right\}.$$

Siccome questo modo di scrivere la risposta copre anche la risposta data nel primo caso, allora possiamo adottare quest'ultima come la risposta definitiva.

